

# PPAR $\gamma$ 激动剂通过激活 JNK 通路促进海马神经元轴突的生长

田中秋 冯斌 韩树生 孙印臣 刘少朋 张晓娟 袁进国 王丽丽 王鹏

**摘要 目的** 初步探讨过氧化物酶体增殖物激活受体(PPAR $\gamma$ )激动剂对体外培养海马神经元轴突生长的作用及其机制。

**方法** 通过向原代培养的胎鼠海马神经元中加入 PPAR $\gamma$  激动剂曲格列酮(TGZ)及其抑制剂 GW - 9662 (GW)以及 JNK 特异性抑制剂 SP 600125 (SP),以研究 PPAR $\gamma$  激动剂对海马神经元轴突生长的作用,以及 JNK 通路的活化在此过程中的作用。结果 TGZ 活化 PPAR $\gamma$  后能明显促进海马神经元轴突的延长( $P < 0.05$ )。PPAR $\gamma$  激动剂 GW 消除了 TGZ 的促轴突生长作用。PPAR $\gamma$  活化后激活了 JNK 通路,且 JNK 特异性抑制剂 SP 能明显阻断 TGZ 的促轴突生长作用( $P < 0.05$ ),表明 TGZ 诱导的促轴突生长作用依赖 JNK 通路的激活。**结论** PPAR $\gamma$  激动剂能促进海马神经元轴突的生长,且此作用依赖 JNK 通路的激活。

**关键词** 过氧化物酶体增殖物激活受体  $\gamma$  曲格列酮 JNK 通路 轴突生长

[中图分类号] Q291 [文献标识码] A

**PPAR $\gamma$  Activation Promotes Axon Elongation by a Mechanism that Involved JNK Activation.** Tian Zhongqiu, Feng Bin, Han Shusheng, et al. Chengde Medical College, Hebei 067000, China

**Abstract Objective** To investigate the role of the activated PPAR $\gamma$  by TGZ in the axonal growth in hippocampal neurons. **Methods**

Hippocampal neurons were treated with TGZ in the presence or absence of the specific PPAR $\gamma$  antagonist GW 4662 (GW) and the JNK inhibitor SP600125 (SP) to evaluate the possible role of JNK in TGZ - induced axonal elongation. **Results** PPAR $\gamma$  stimulation by TGZ induces axonal growth in hippocampal neurons. The use of GW9662, a specific PPAR $\gamma$  antagonist, and SP 600125, an inhibitor of JNK, prevented these changes. **Conclusion** PPAR $\gamma$  activation promoted axonal growth in rat hippocampal neurons, and this effect was mediated by the activation of JNK signaling pathway.

**Key words** PPAR $\gamma$ ; Troglitazone; JNK pathway; Axonal growth

轴突变性是神经变性疾病的主要病理表现,导致突触功能异常和神经细胞的死亡<sup>[1,2]</sup>。PPAR $\gamma$  激动剂噻唑啉二酮类(TZDs)药物,可以增加机体的胰岛素敏感度,具有一定的神经保护作用。PPAR $\gamma$  受体激动剂处理 PC12 细胞后,可以明显促进其突触的延长,并且这种促进作用与 MAPK - JNK 通路的活化相关<sup>[3]</sup>,但 PPAR $\gamma$  通路对海马神经元轴突的影响及其作用机制尚未见相关报道。

## 材料与方法

1. 材料:SD 大鼠购于维通利华,Neurobasal medium、B27、L - Glutamine、胎牛血清均购自 Gibco 公司,木瓜蛋白酶购于 Sigma 公司,曲格列酮(TGZ)、GW - 9662(GW)购自 Cayman Chemical 公司,anti - tau、anti - PPAR $\gamma$ 、anti - totalJNK、anti - p - JNK 均购自 SantaCruz 公司。

作者单位:067000 承德医学院(田中秋);075000 张家口,解放军第 251 医院神经外科(冯斌、韩树生、孙印臣、刘少朋、张晓娟、袁进国、王丽丽、王鹏)

通讯作者:冯斌,电子信箱:Fengbin@vip.sina.com

2. 海马神经元的提取及培养:提取分离的原代海马神经元取自孕 18 周的 SD - 大鼠胎鼠。取得的海马组织用枪头机机械磨碎并孵育在含有木瓜蛋白酶 DMEM 培养基中 30℃ 20min。混合物转移到 B27/DMEM 培养基中,将细胞以 200 × g 离心 1min。弃掉上清,细胞重悬于 1ml 含有 L - Glutamine 的 B27/Neurobasal 培养基,细胞计数后,接种在包被多聚赖氨酸的 24 孔板中,密度为每立方厘米  $1.6 \times 10^4$  个细胞。细胞培养在 37℃ 5% CO<sub>2</sub> 培养箱中,每 3 天半换液 1 次。在此培养条件下,大约 95% 的细胞为神经元。

3. 免疫荧光分析:经各组处理因素处理后的海马神经元用 4% 的多聚甲醛固定 30min, PBS 冲洗 3 次,然后用 0.1% Triton 破膜 15 ~ 30min,经 PBS 冲洗后滴加 5% 的 BSA 室温孵育 1h,然后加入一抗 anti - tau,并于 4 孵育过夜,PBS 冲洗过后用荧光二抗(Alexa Flour 488,1:1000)孵育 1h,PBS 冲洗 3 次后用 DapiFluoromount - G 封片。

4. Western blot 分析:用 0.25% 胰酶消化并收集细胞,裂解、定量后,将含 30 μg 蛋白的样品行 10% 的 SDS - PAGE 凝胶电泳,然后电转至 0.2 μm 的 PVDF 膜上,待电转结束后将 PVDF 膜放于 5% 脱脂奶粉封闭液中室温或 37℃ 封闭 1h,然后

加入一抗 anti - PPAR $\gamma$ 、anti - total JNK、anti - p - JNK，并4℃冰箱孵育过夜，TBST洗膜3次，每次5~10min，然后加入二抗37℃孵育60~90min，再以TBST洗膜3次，即可显色成像，随后由Image Lab<sup>TM</sup> Software统计分析各指标的含量。

5. 形态学分析：轴突长度被作为形态学分析的主要参数，在分析过程中，只要突起长度大于同一细胞其他突起的两倍以上就认为是轴突，且最小长度不得小于50 $\mu\text{m}$ <sup>[4]</sup>。每一个实验组及时间点重复3次，每次选取200个细胞进行分析。以上形态学参数的评估均通过anti - tau对海马神经元的免疫荧光标记获得。

6. 统计学方法：结果以均数±标准差( $\bar{x} \pm s$ )表示，多组之间均数的比较采用单因素方差分析，两组之间的差异采用LSD-t检验，所有过程均由SPSS 17.0统计软件完成， $P < 0.05$ 为差异有统计学意义。

## 结 果

1. PPAR $\gamma$ 活化促进海马神经元轴突延长：TGZ激活PPAR $\gamma$ 后可以减轻由A $\beta$ 蛋白引起的神经元的死亡和钙离子应激。使用PPAR $\gamma$ 激动剂处理海马神经元24h后，明显促进轴突的延长。anti - tau标记海马神经元的共聚焦成像，分别为对照组(未作处理)、处理组(加入10 $\mu\text{mol}/\text{L}$ 的TGZ并孵育72h)。通过将处理组与对照组相比较，可以发现，TGZ增加了轴突的长度。然后处理组再按照TGZ处理时间的不同分为3个亚组：24h组、48h组、72h组，并对各组海马神经元的平均轴突长度做定量分析，结果显示，各处理组平均轴突长度与对照组相比均明显增加， $P < 0.05$ (图1、图2)。以上结果显示：PPAR $\gamma$ 激动剂TGZ明显促进大鼠海马神经元轴突的生长。

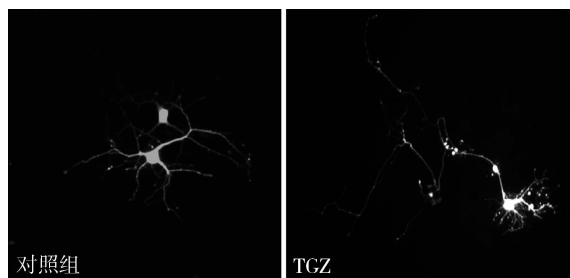


图1 对照组和TGZ(曲格列酮)处理组培养72h后的共聚焦成像

2. 阻断PPAR $\gamma$ 活化后阻止了TGZ的促轴突生长作用：为进一步确定TGZ对神经元的作用，笔者使用了PPAR $\gamma$ 的特异性拮抗剂GW4662(GW)，此部分研究分为4组：①对照组；②GW组神经元培养过程中加入5 $\mu\text{mol}/\text{L}$ 的GW4662(GW)；③TGZ组神经元培养中加入10 $\mu\text{mol}/\text{L}$ 的TGZ；④TGZ&GW组。培养

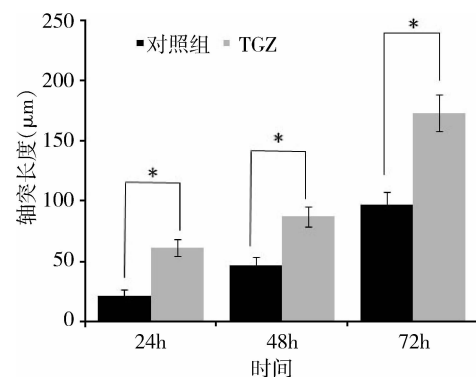


图2 定量分析各处理组与对照组的轴突长度

\*  $P < 0.05$

72h后将神经元固定并进行anti - tau免疫荧光染色，定量分析各组平均轴突长度，此外，通过Western blot对各组PPAR $\gamma$ 的表达进行定量分析，以佐证TGZ和GW对PPAR $\gamma$ 表达的影响。结果显示：与对照组相比，GW组和TGZ&GW组的神经突总长度并无统计学差异，而TGZ&GW组神经元轴突长度较TGZ组明显减少( $P < 0.05$ ，图3~图6)。以上研究表明，TGZ介导的促神经突生长作用是PPAR $\gamma$ 依赖的，且对轴突的影响较为显著。

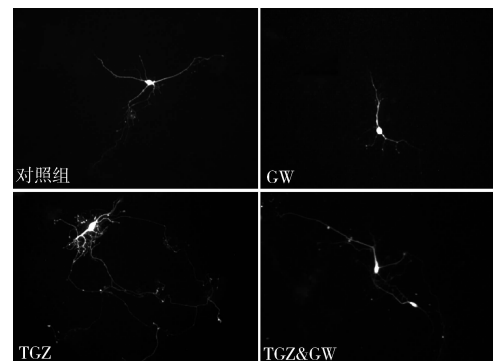


图3 对照组、GW、TGZ 及 TGZ&GW 处理组培养72h后的共聚焦成像

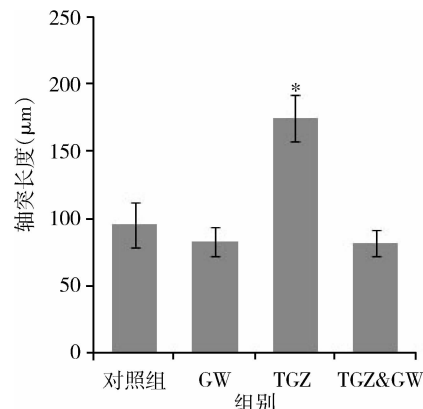
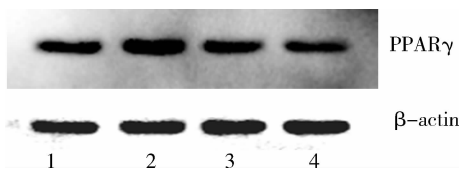
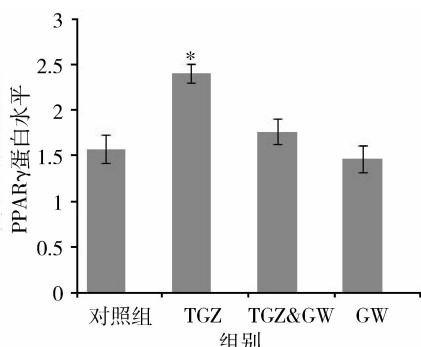


图4 对各处理组与对照组的轴突长度进行定量分析  
与对照组相比，\*  $P < 0.05$

图 5 Western blot 显示对照组及各处理组 PPAR $\gamma$  的表达

1. 对照组;2. TGZ 组;3. TGZ&amp;GW 组;4. GW 组

图 6 对各组 PPAR $\gamma$  蛋白水平的表达进行定量分析与对照组相比, \*  $P < 0.05$ 

3. JNK 在 PPAR $\gamma$  活化后促进轴突生长中的作用: 研究报道 PPAR $\gamma$  激动剂促进 PC12 细胞神经突生长过程中 MAPK、P38 和 JNK 通路被激活。为进一步证实 TGZ 促进海马神经元轴突生长过程中 JNK 通路激活的程度和作用, 笔者在海马神经元培养过程中加入了 JNK 特异性抑制剂 SP600125 此部分分为 4 组: 对照组、SP 组、TGZ 组、TGZ&SP 组。结果显示, 通过分析各组培养 72h 后的共聚焦成像数据, 发现 SP 明显减弱了 TGZ 的促轴突生长作用 ( $P < 0.05$ ), 表明 TGZ 诱导的促轴突生长作用依赖 JNK 通路的激活。随后通过 Western blot 对 PPAR $\gamma$  激动剂和拮抗剂对 JNK 的活化程度做了定量分析, 以进一步证实二者的相关性, 结果显示 PPAR $\gamma$  激动剂诱导海马神经元中 JNK 的磷酸化(图 7~图 10)。

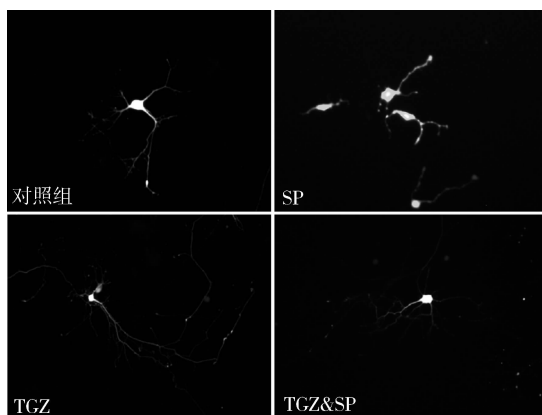


图 7 对照组、SP、TGZ 及 TGZ&amp;SP 处理组培养 72h 后的共聚焦成像

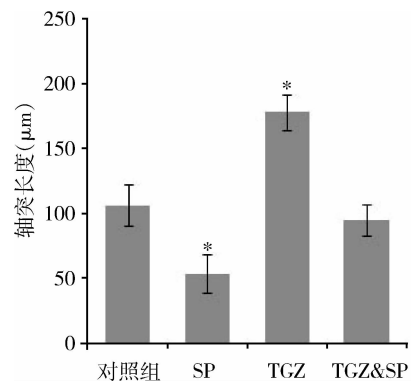


图 8 对各处理组与对照组的轴突长度进行定量分析

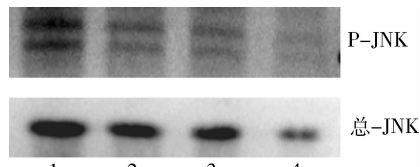
与对照组相比, \*  $P < 0.05$ 

图 9 Western blot 显示对照组及各处理组总 -JNK 和 P -JNK 的蛋白水平表达

1. TGZ 组;2. TGZ&amp;SP 组;3. 对照组;4. SP 组

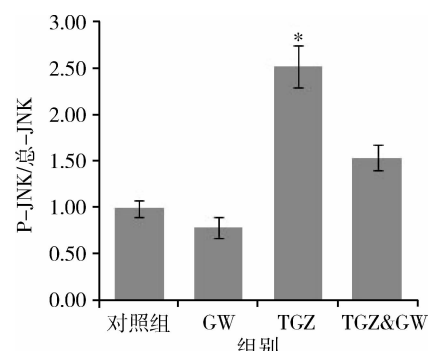


图 10 对各组 p - JNK/总 - JNK 的蛋白水平进行定量分析

与对照组相比, \*  $P < 0.05$ 

## 讨 论

轴突变短或缺失是神经退行性疾病的病理特征, 轴突损伤与神经变性疾病如阿尔茨海默病(Alzheimer's disease, AD)、帕金森病(Parkinson)、亨廷顿舞蹈症(Huntington's disease, HD)的发生相关, 明确神经变性改变的发生机制对其治疗尤为重要。过氧化物酶体增殖物激活受体(PPAR $\gamma$ )是转录因子家族PPARs 家族的一员, 研究证实其在脂肪细胞、巨噬细胞等细胞分化的调节中起着重要作用<sup>[5~8]</sup>。15-脱氧前列腺素 J2 是 PPAR $\gamma$  的生理性配体, 能刺激 PC12 细胞和人神经母细胞瘤细胞的分化<sup>[9,10]</sup>。

PPAR $\gamma$  广泛表达于中枢神经系统, PPAR $\gamma$  $-/-$  和 PPAR $\gamma$  $+/-$  小鼠的脑发育缺陷表明, PPAR $\gamma$  在神经系统发育过程中起着重要的作用<sup>[11]</sup>。有研究表明 PPAR $\gamma$  表达于大鼠海马神经元, 并且被 2 型糖尿病治疗的常规用药噻唑啉二酮类(TZDs)药物——罗格列酮(RGZs)、环格列酮(CGZs)、曲格列酮(TGZs)激活后可以抑制由 A $\beta$  蛋白引起的轴突变性、突触消失、线粒体损伤等。临床试验研究表明吡格列酮可以提高 AD 患者的记忆和认知功能, 动物试验研究亦显示, 吡格列酮可以改善 AD 模型小鼠的学习和记忆<sup>[12,13]</sup>。在对过表达 APP 蛋白的 AD 模型小鼠研究中显示, PPAR $\gamma$  的活化可以减轻 A $\beta$  的神经毒性, 具有神经保护作用。笔者的研究结果显示, 在海马神经元培养过程中应用 PPAR $\alpha$  激动剂 TZDs 后明显促进了轴突的生长, 而 TZDs 和 PPAR $\alpha$  拮抗剂 GW 联合培养后, TZDs 促进轴突生长作用被抑制, 轴突长度明显减小, 说明 TGZ 发挥作用需要 PPAR $\alpha$  的激活。

JNK 是 MAPK 家族一员, JNK 在神经发育过程中发挥着重要作用, 研究表明在 PPAR $\alpha$  激动剂处理 PC12 细胞并促进其突触延长过程中伴随 MAPK, p38 和 JNK 的激活, JNK 信号通路在小脑颗粒细胞发育中也起一定的作用。JNK1 $-/-$  小鼠轴突束发育异常, JNK1 $-/-$  和 JNK2 $-/-$  小鼠神经发育严重异常, 并在胚胎发育阶段死亡<sup>[14,15]</sup>。最近研究结果证实, 在发育期 JNK 调节神经突的生长, 并且在 PC12 细胞和背根神经节轴突再生中 JNK 可以通过调控转录事件来调节神经突的生长。应用药物阻止 JNK 通路后能明显抑制轴突的延长, 并且不能形成典型的轴突<sup>[16]</sup>。笔者的研究结果显示 PPAR $\gamma$  激动剂 TGZ 促进海马神经元轴突生长需要 JNK 的活化, 并且应用 JNK 抑制剂 SP 后促生长作用被完全抵消, 进一步证实了 JNK 的活化在 TGZ 促进神经元轴突生长过程中发挥重要的作用。

笔者发现 TGZ 激活 PPAR $\gamma$  后能明显促进轴突的延长, 并且伴随着 JNK 通路的活化。加入 PPAR $\gamma$  拮抗剂 GW9662 后 TGZ 的促进作用被消除。此外, 通过应用 SP 抑制 JNK 通路后亦阻止了 TGZ 的促轴突延长作用, 表明 PPAR $\alpha$  激动剂促进轴突生长依赖 JNK 通路的激活。

#### 参考文献

- 1 Bottelbergs A, Verheijden S, Hulshagen L, et al. Axonal integrity in the absence of functional peroxisomes from projection neurons and astrocytes [J]. *Glia*, 2010, 58:1532–1543.
- 2 Kassmann CM, Lappe-Siefke C, Baes M, et al. Axonal loss and

- neuroinflammation caused by peroxisome-deficient oligodendrocytes [J]. *Nat Genet*, 2007, 39:969–976.
- 3 Park SW, Yi JH, Miranpuri G, et al. Thiazolidinedione class of peroxisome proliferator-activated receptor gamma agonists prevents neuronal damage, motor dysfunction, myelin loss, neuropathic pain, and inflammation after spinal cord injury in adult rats [J]. *J Pharmacol Exp Ther*, 2007, 320:1002–1012.
- 4 Codocedo JF, Allard C, Godoy JA, et al. SIRT1 regulates dendrite development in hippocampal neurons [J]. *PLoS One*, 2012, e47073.
- 5 Ahmadian M, Suh JM, Hah N, et al. PPAR $\gamma$  signaling and metabolism: the good, the bad and the future [J]. *Nat Med*, 2013, 19(5):557–66.
- 6 Singh I, Paintlia AS, Khan M, et al. Impaired peroxisomal function in the central nervous system with inflammatory disease of experimental autoimmune encephalomyelitis animals and protection by lovastatin treatment [J]. *Brain Res*, 2004, 1022:1–11.
- 7 Bernardo A, Minghetti L. Regulation of glial cell functions by PPAR-gamma natural and synthetic agonists [J]. *PPAR Res*, 2008, 2008:864140.
- 8 Celinski K, Dworzanski T, Fornal R, et al. Comparison of the anti-inflammatory and therapeutic actions of PPAR-gamma agonists rosiglitazone and troglitazone in experimental colitis [J]. *J Physiol Pharmacol*, 2012, 63(6):631–640.
- 9 Fujita M, Yagami T, Fujio M, et al. Cytotoxicity of troglitazone through PPAR $\gamma$ -independent pathway and p38 MAPK pathway in renal cell carcinoma [J]. *Cancer Lett*, 2011, 312:219–227.
- 10 Miglio G, Rattazzi L, Rosa AC, et al. PPARgamma stimulation promotes neurite outgrowth in SH-SY5Y human neuroblastoma cells [J]. *Neurosci Lett*, 2009, 454(2):134–138.
- 11 Gray E, Ginty M, Kemp K, et al. Peroxisome proliferator activated receptor-alpha agonists protect cortical neurons from inflammatory mediators and improve peroxisomal function [J]. *Eur J Neurosci*, 2011, 33:1421–1432.
- 12 Quinn LP, Crook B, Hows ME, et al. The PPARgamma agonist pioglitazone is effective in the MPTP mouse model of Parkinson's disease through inhibition of monoamine oxidase B [J]. *Br J Pharmacol*, 2008, 154:226–233.
- 13 Ji H, Wang H, Zhang F, et al. PPARgamma agonist pioglitazone inhibits microglia inflammation by blocking p38 mitogen-activated protein kinase signaling pathways [J]. *Inflamm Res*, 2010, 59:921–929.
- 14 Qu WS, Tian DS, Guo ZB, et al. Inhibition of EGFR/MAPK signalling reduces microglial inflammatory response and the associated secondary damage in rats after spinal cord injury [J]. *J Neuroinflammation*, 2012, 23(9):178.
- 15 Manassero G, Repetto IE, Cobianchi S, et al. Role of JNK isoforms in the development of neuropathic pain following sciatic nerve transection in the mouse [J]. *Mol Pain*, 2012, 22(8):39.
- 16 Fujita M, Tohji C, Honda Y, et al. Cytotoxicity of 15-Deoxy- $\Delta$ 12, 14-prostaglandin J2 through PPAR $\gamma$ -independent Pathway and the Involvement of the JNK and Akt Pathway in Renal Cell Carcinoma [J]. *Int J Med Sci*, 2012, 9(7):555–566.

(收稿日期: 2013-10-20)

(修回日期: 2013-12-31)